

FIG. 1

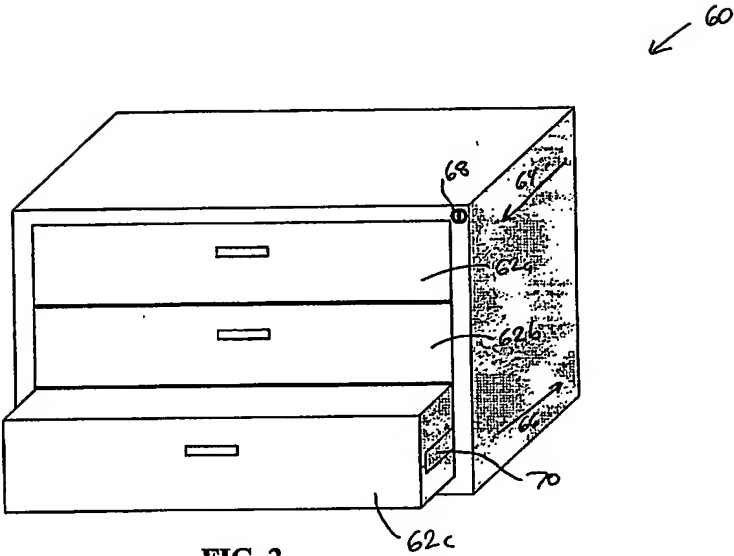


FIG. 2

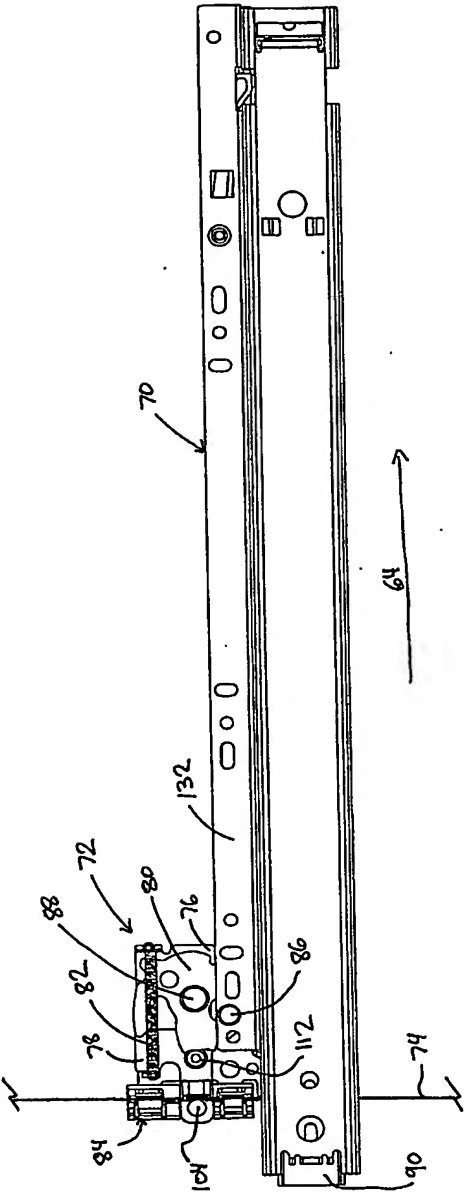
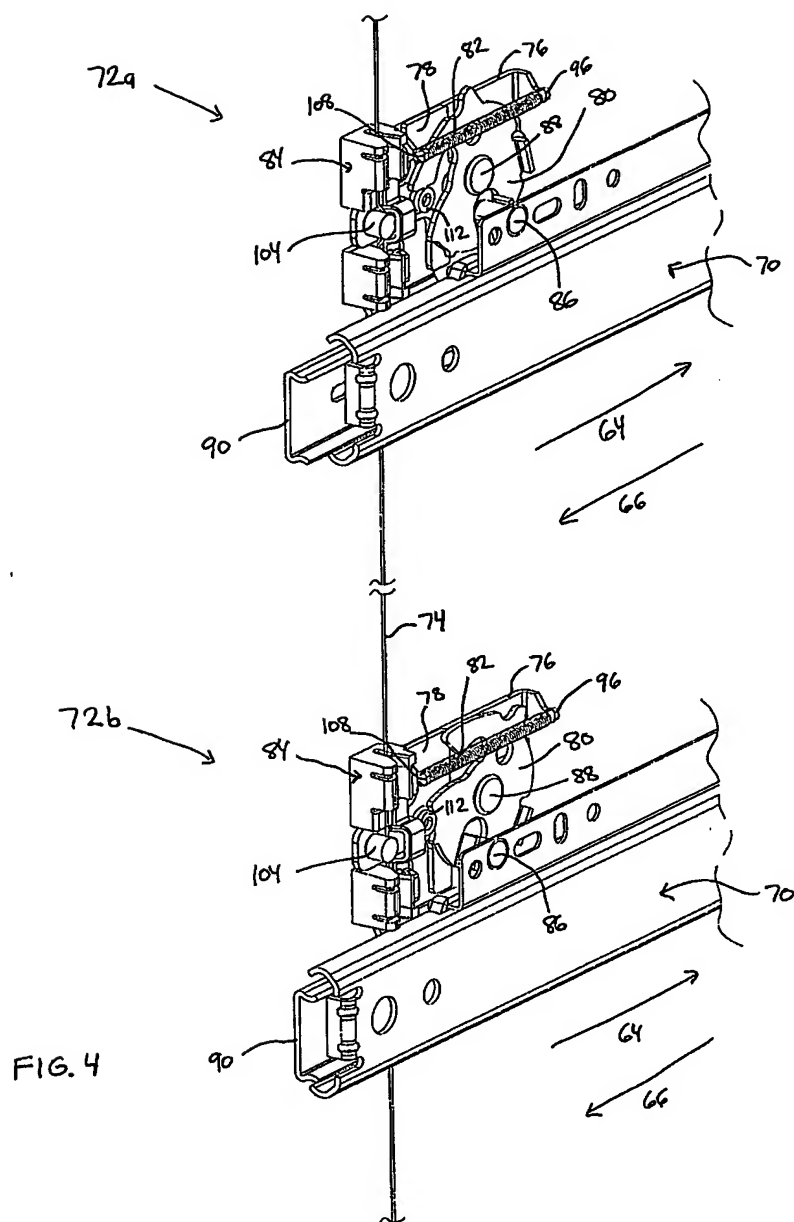
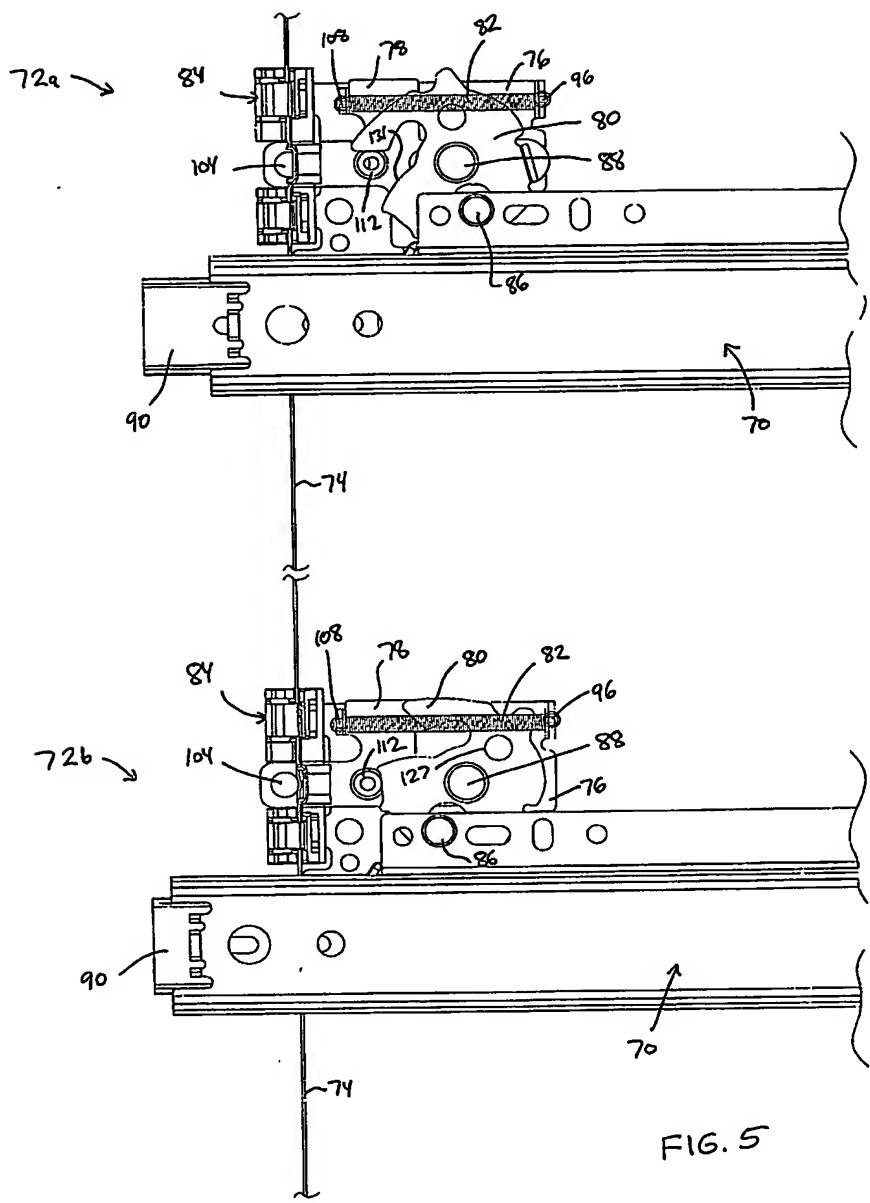


FIG. 3





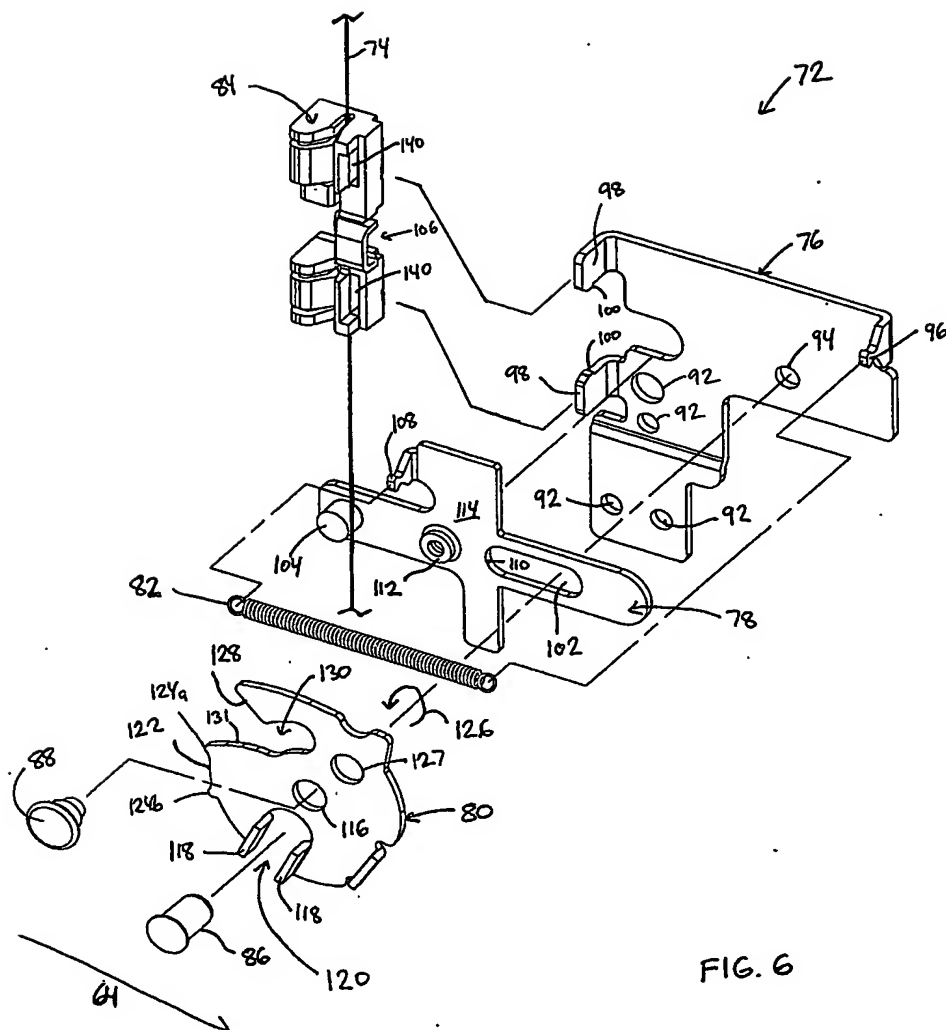
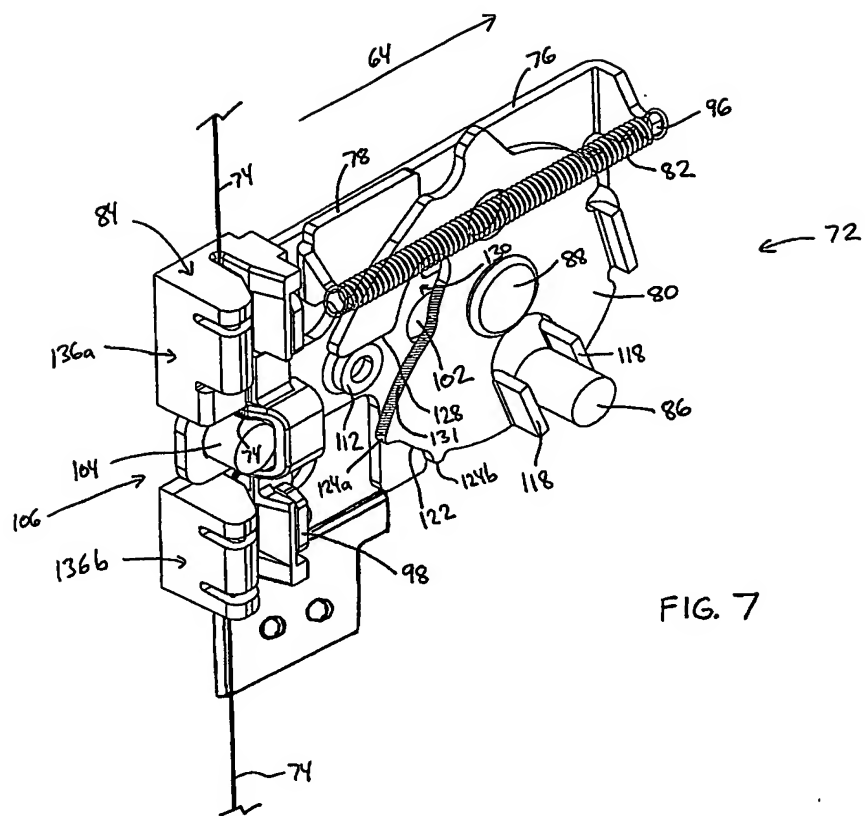


FIG. 6



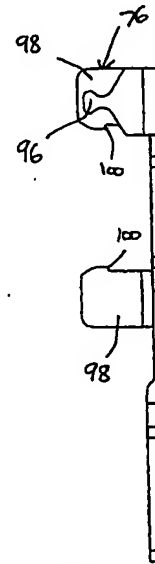
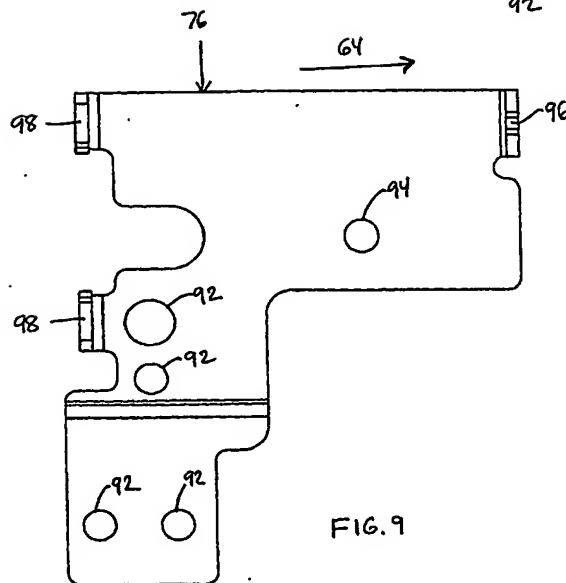
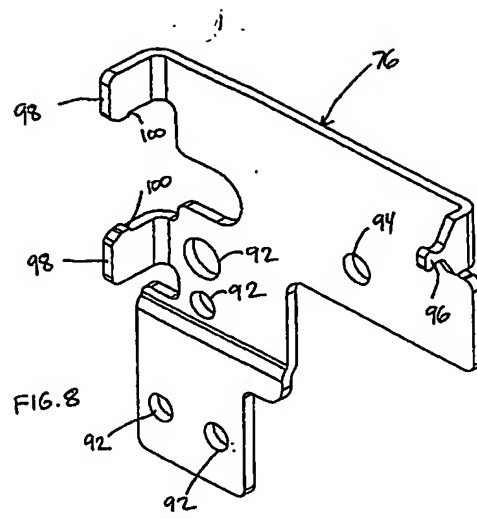
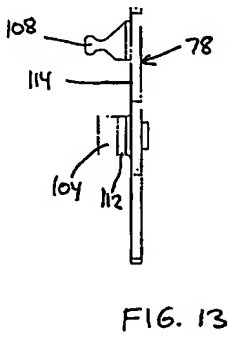
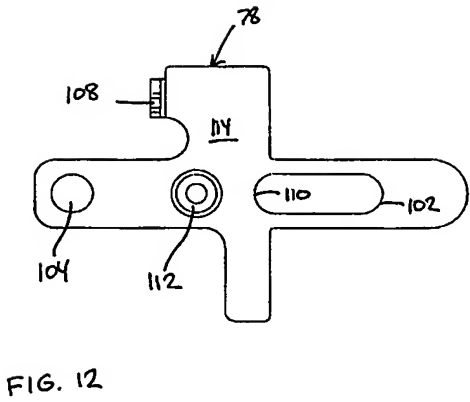
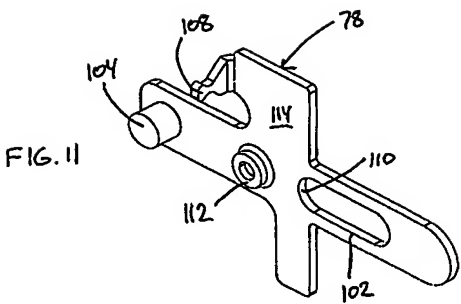
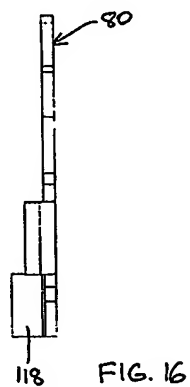
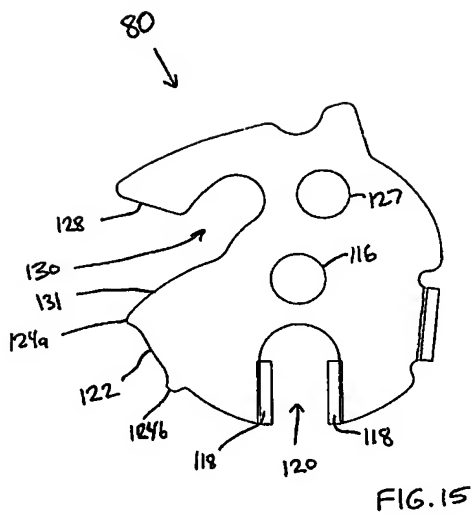
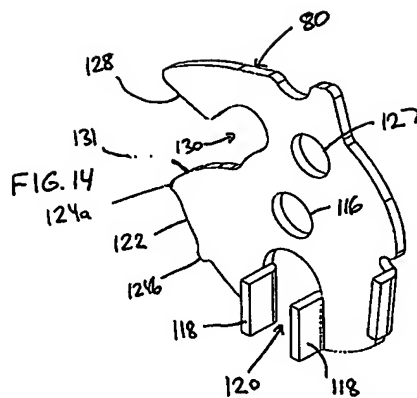
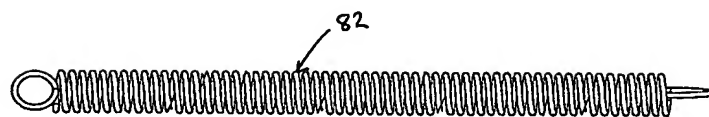
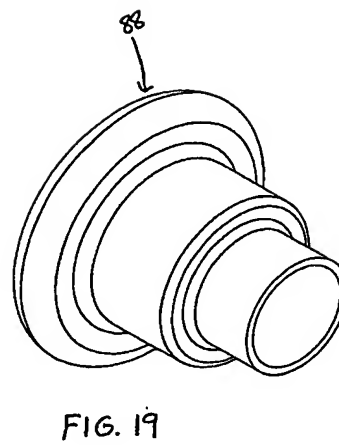
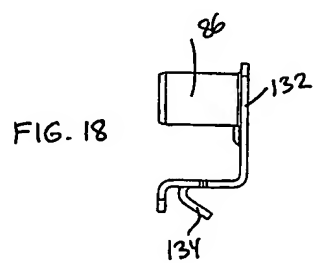
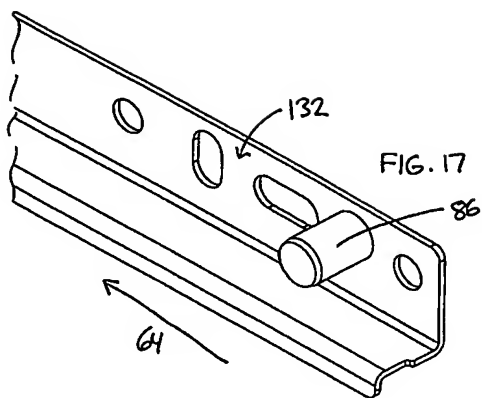


FIG. 10

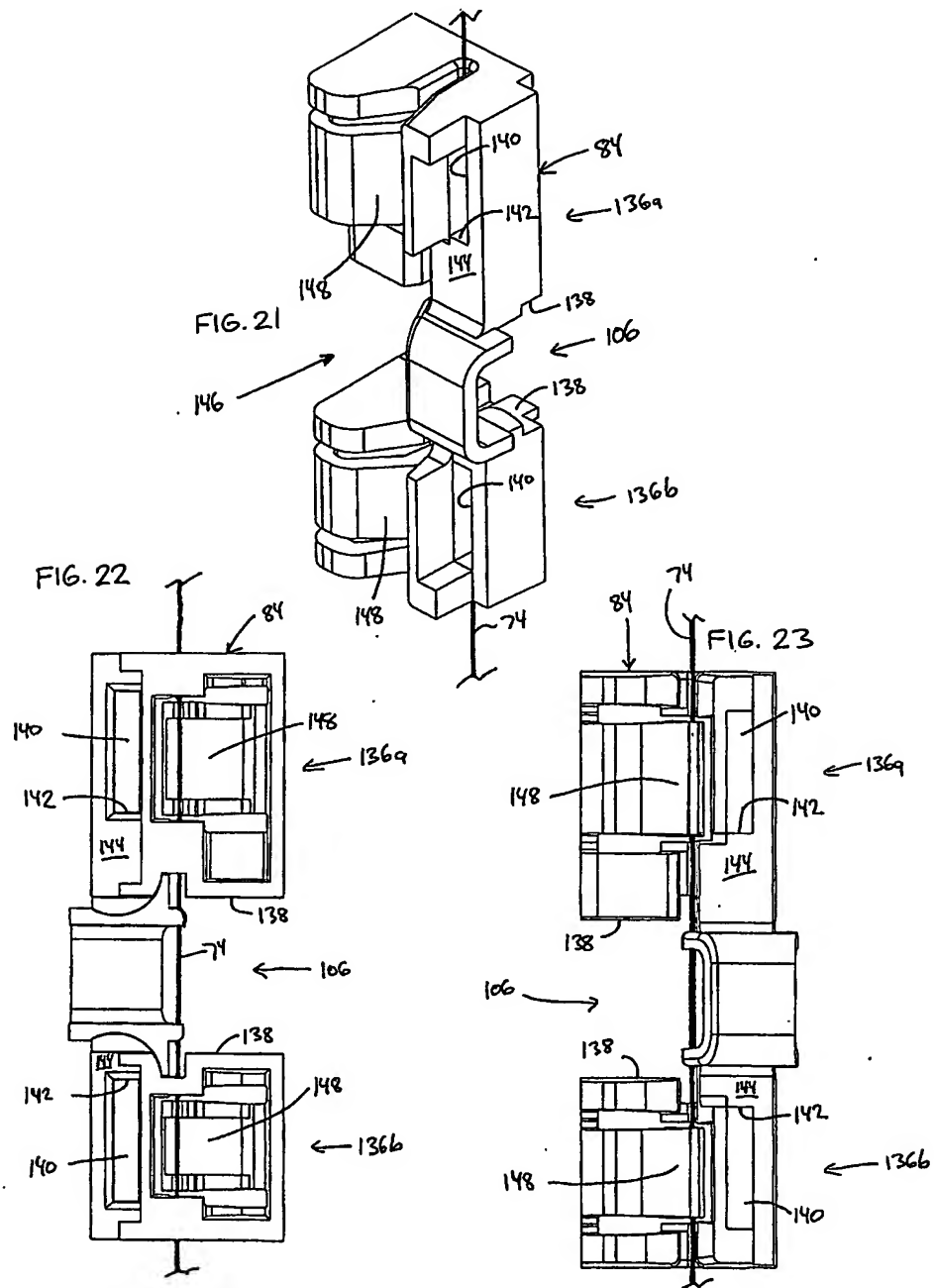


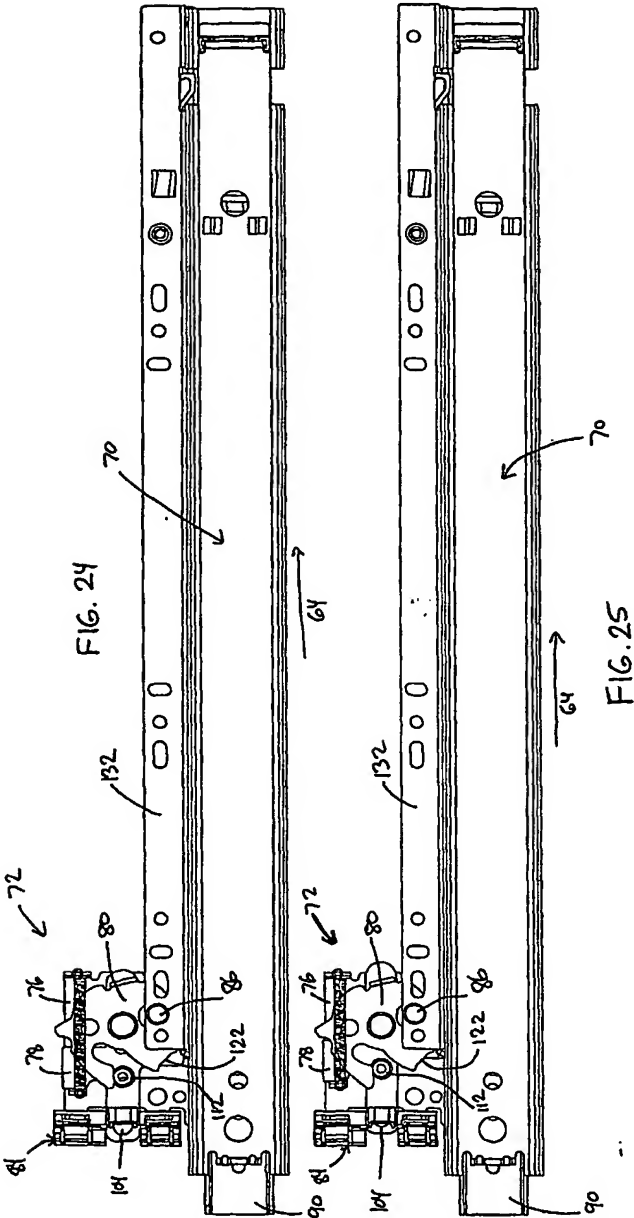


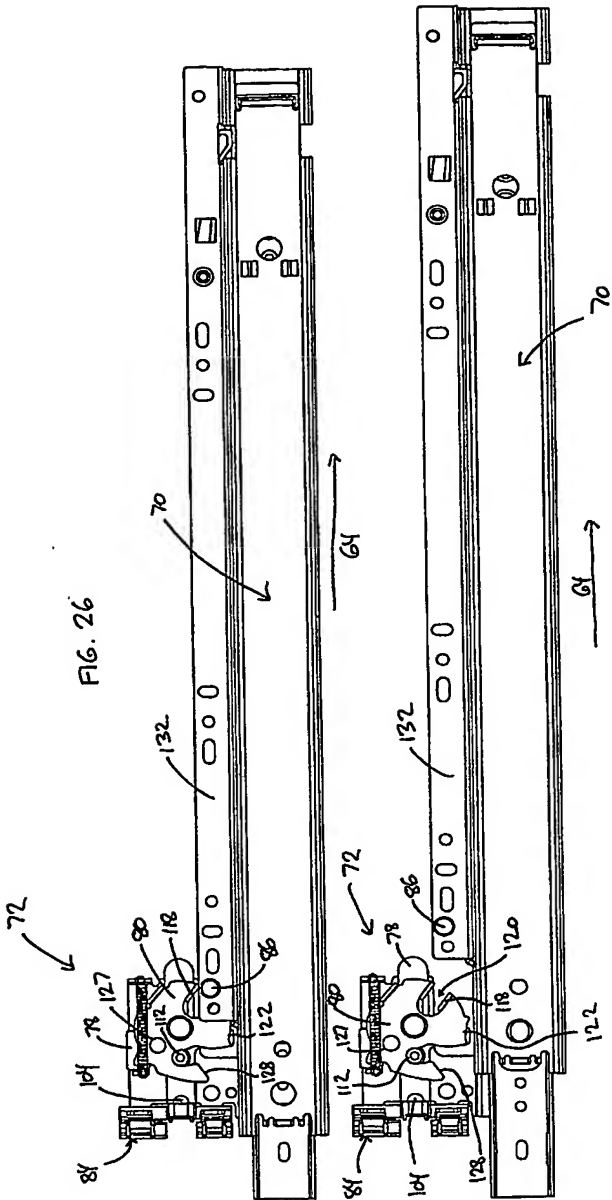


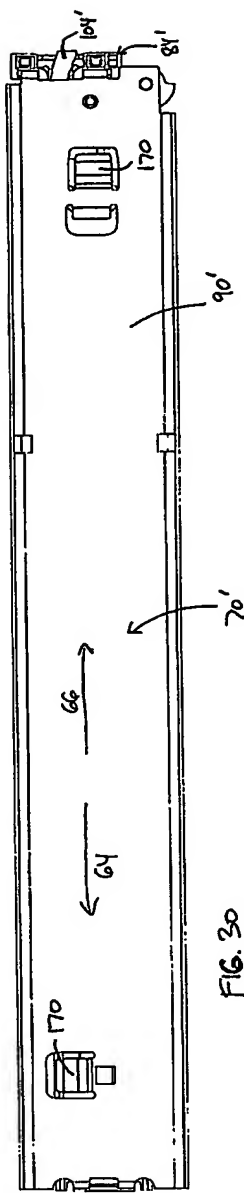
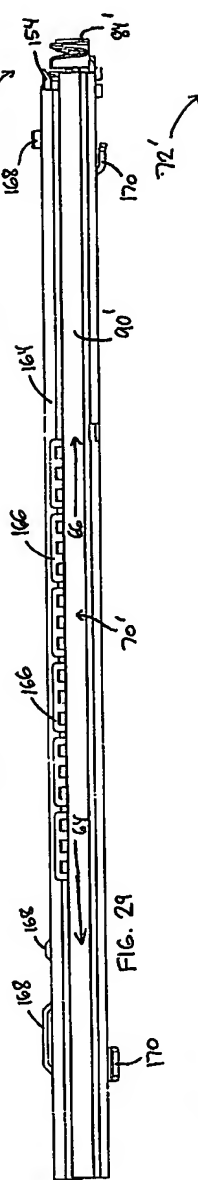
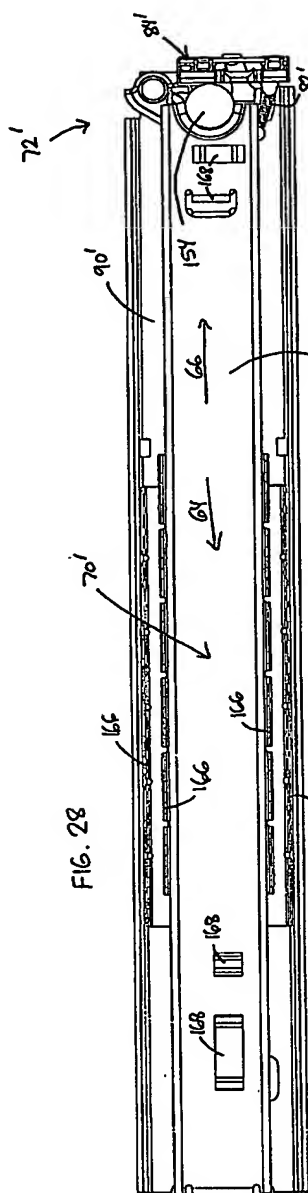


11/29









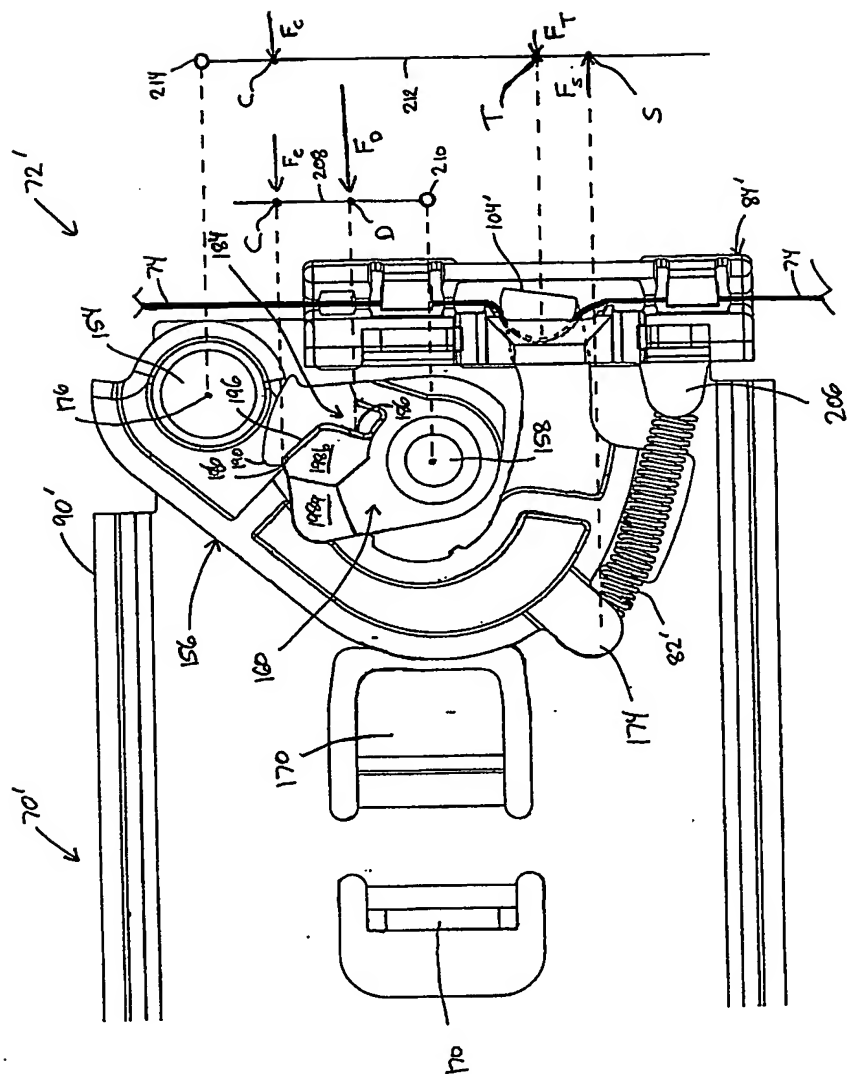
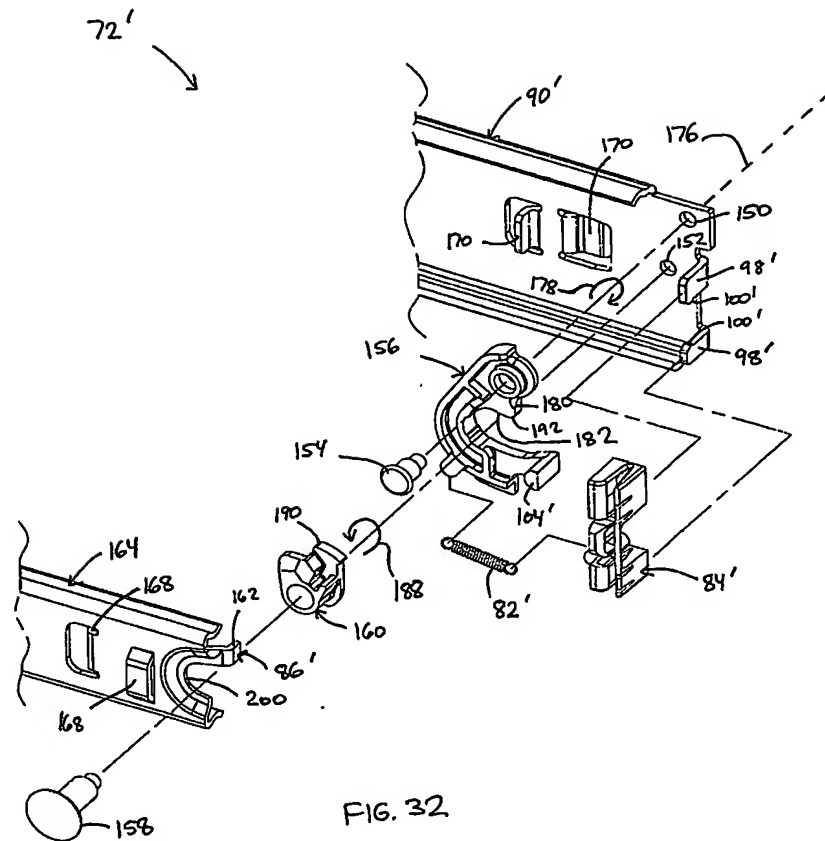
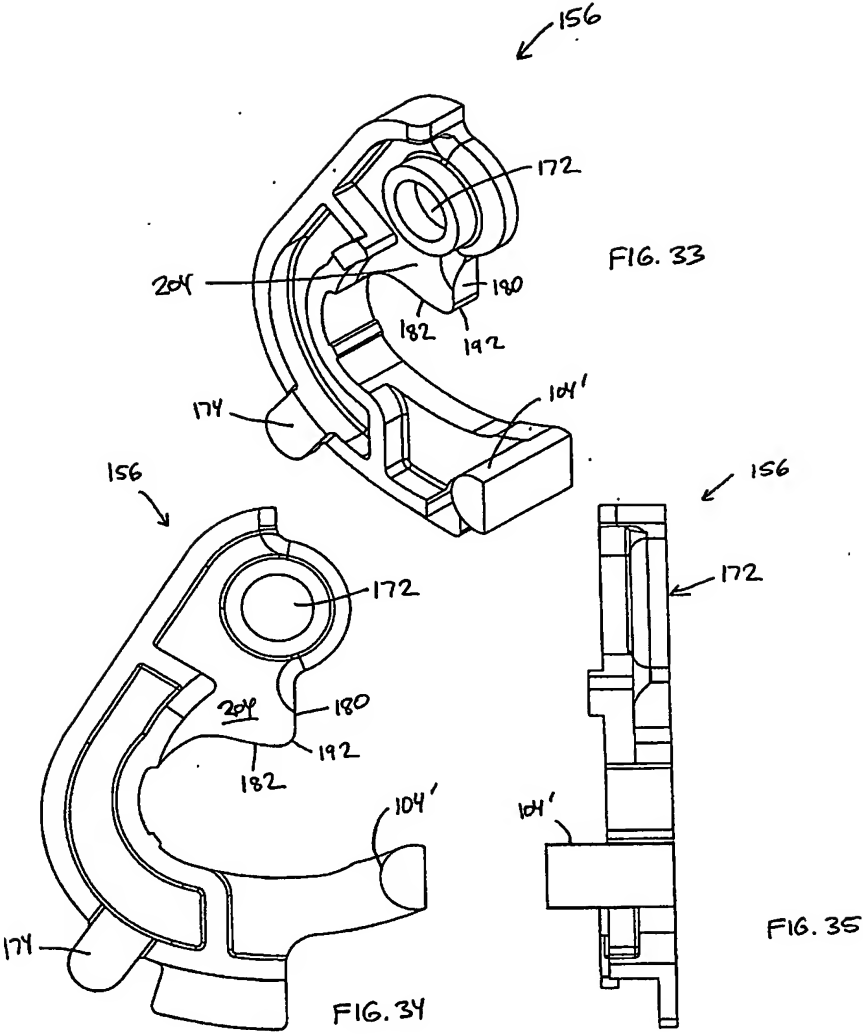
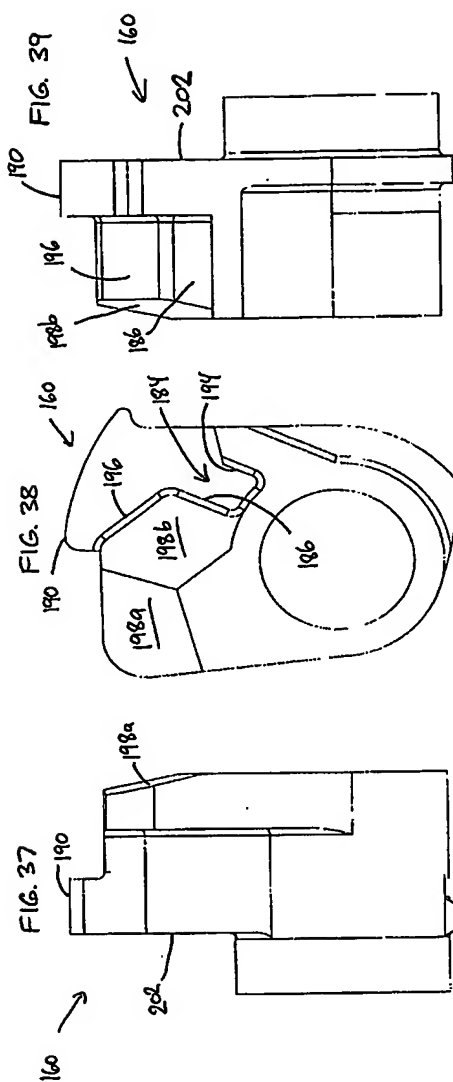
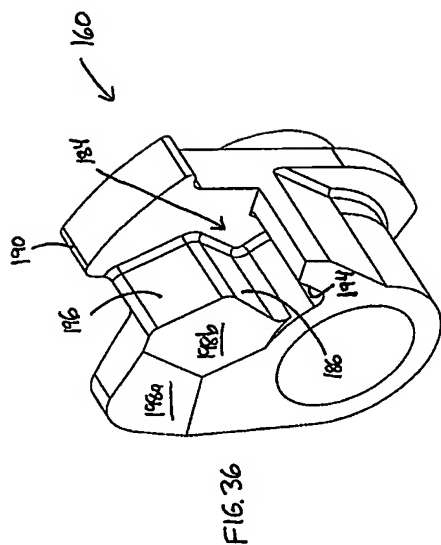


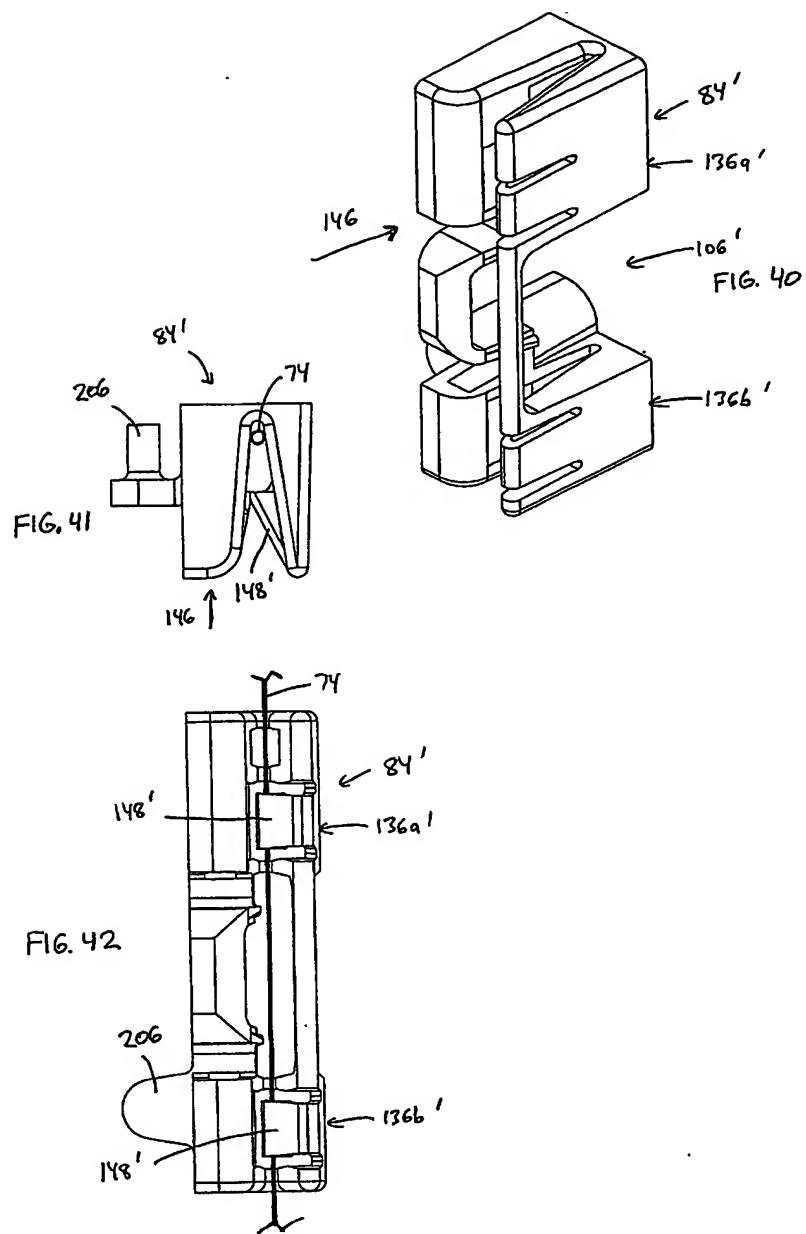
FIG. 31











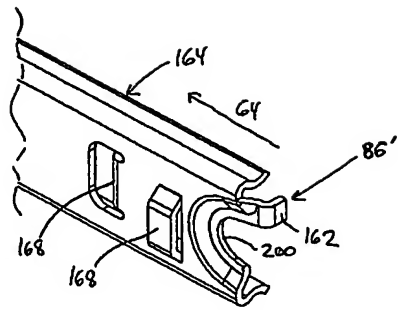


FIG. 43

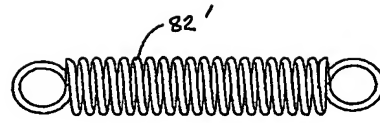


FIG. 44

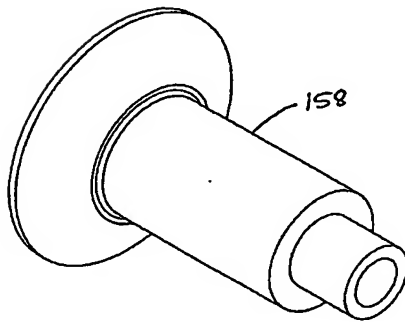


FIG. 45

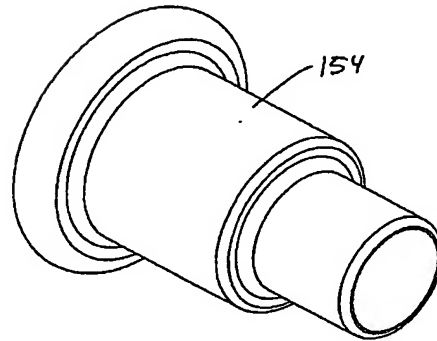
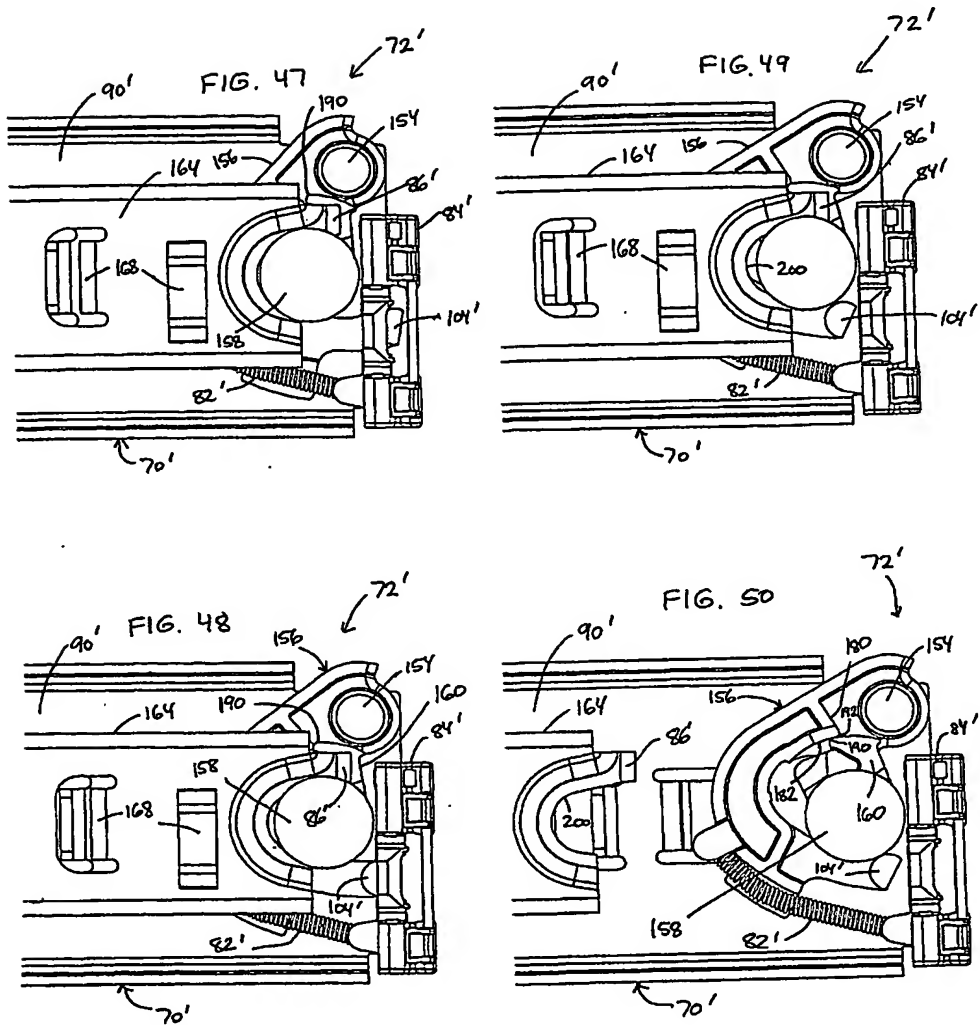
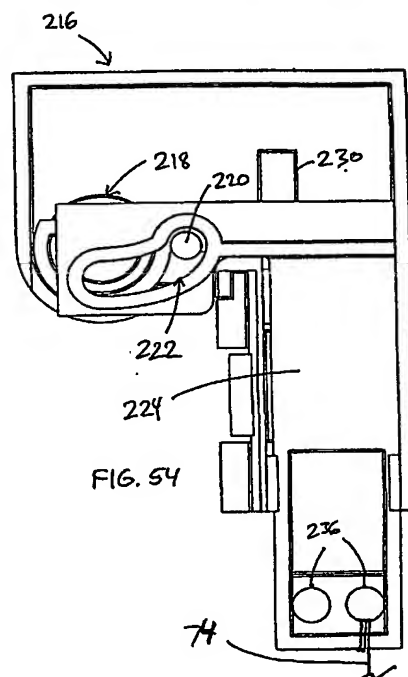
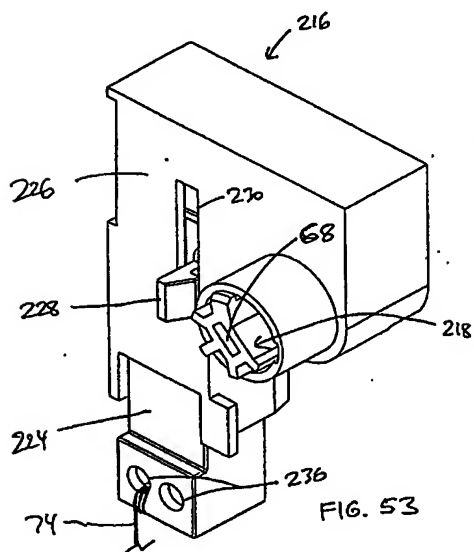
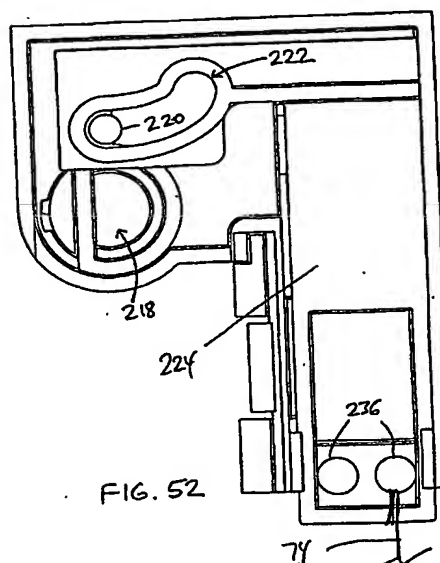
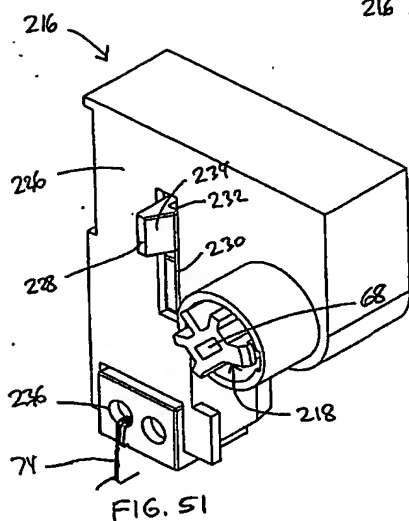


FIG. 46





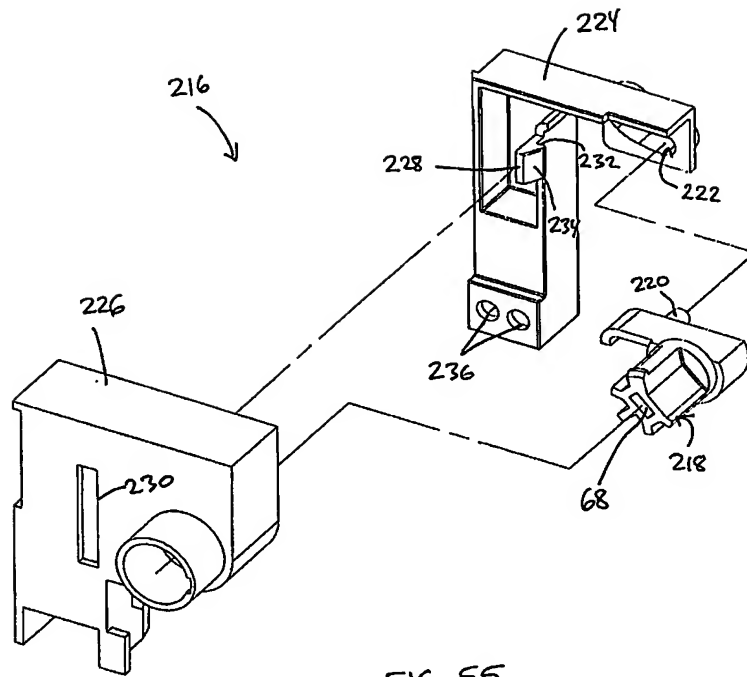


FIG. 55

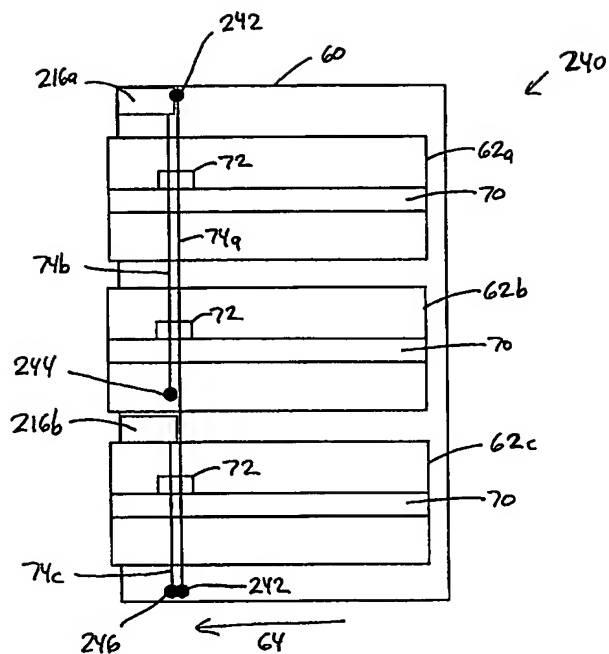


FIG. 56



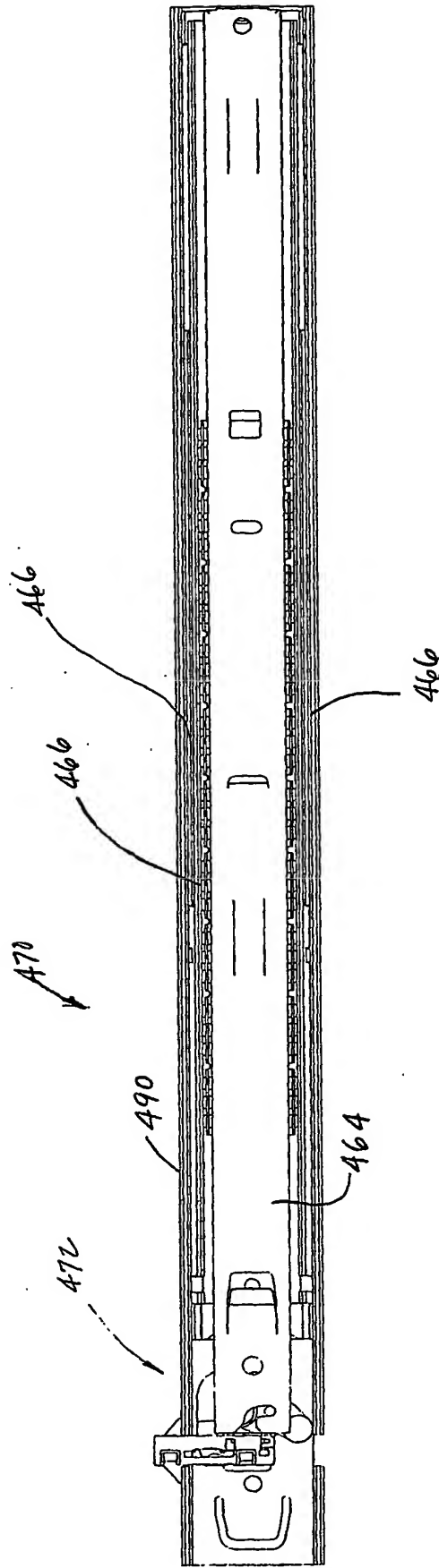


FIG. 57

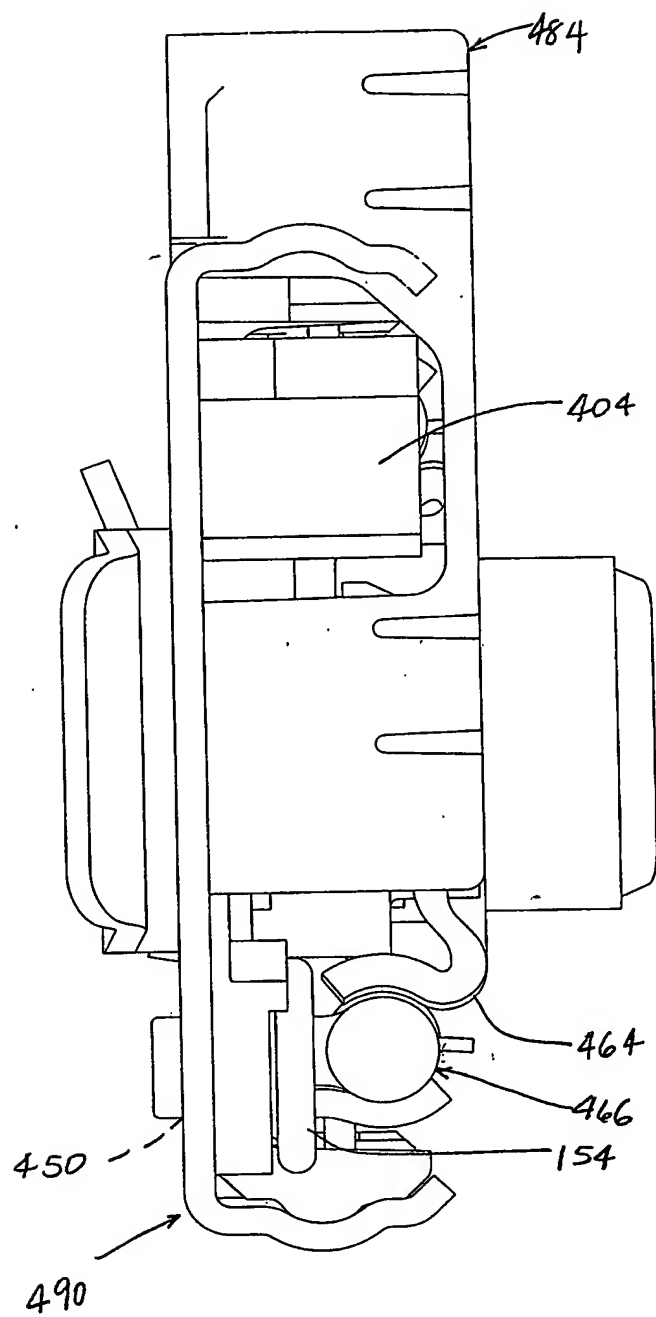
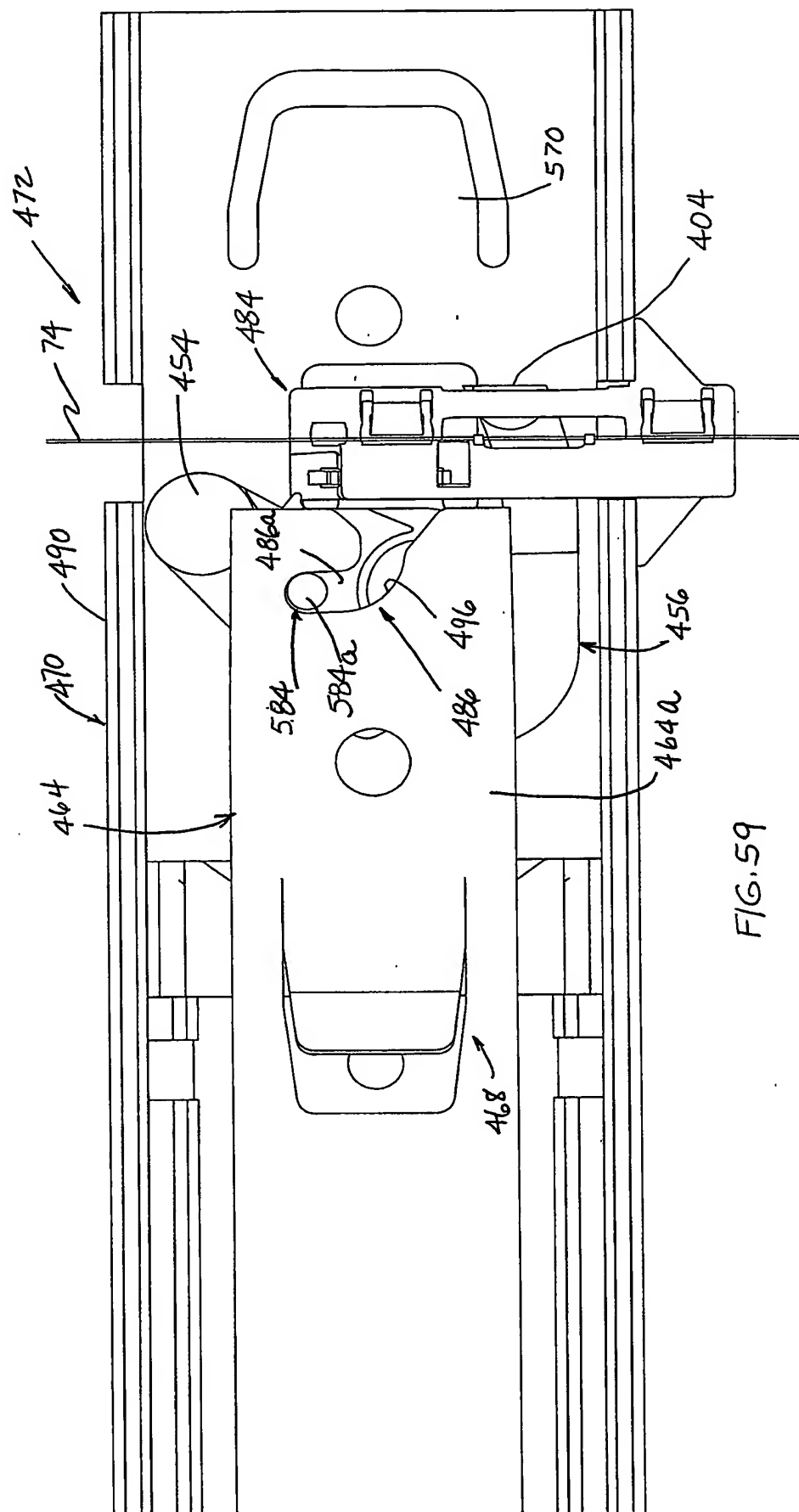


FIG. 58



F/G.59

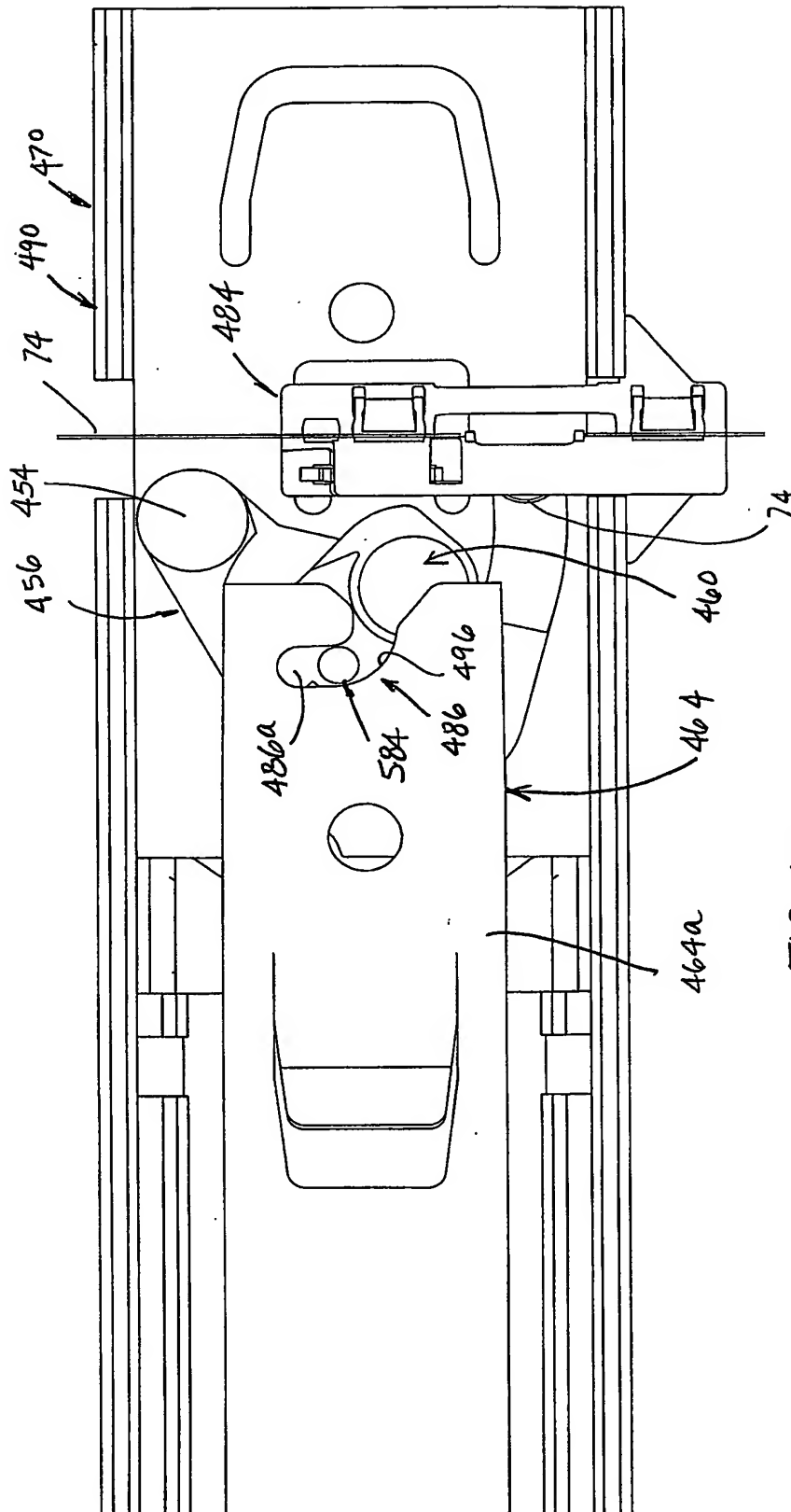


FIG. 60

